

УДК 51:536.24:622.012.3

**РАСЧЕТ ДИНАМИКИ ОСЫПАНИЯ БОРТА КАРЬЕРА  
ДЛЯ КАРБОНАТНЫХ ПОРОД РАЗНОЙ МОРОЗОСТОЙКОСТИ**

**В. И. Слепцов, А. С. Курилко**

*Институт горного дела Севера им. Н. В. Черского СО РАН,  
E-mail: v.i.sleptsov@igds.ysn.ru,  
проспект Ленина, 43, 677980, г. Якутск, Россия*

Предложена математическая модель процесса теплообмена уступа карьера с атмосферой, которая позволяет прогнозировать температурное поле массива многолетнемерзлых горных пород; изменение основных составляющих радиационного баланса в течение суток; угол откоса и ориентацию поверхности; влияние смежных уступов пород. На примере рудника “Удачный” проведена оценка зависимости толщины слоя осыпания с поверхности откоса борта карьера от времени вследствие циклического воздействия процесса промерзания – оттаивания для пород разной морозостойкости.

*Математическое моделирование, криолитозона, теплообмен, теплофизика, свойства горных пород, радиационный баланс, осыпание борта карьера*

Открытая разработка кимберлитовых месторождений в Якутии осуществляется в сложных горно-геологических и горнотехнических условиях (наличие многолетней мерзлоты до глубины 550 м, суровые климатические условия, напорные и агрессивные подмерзлотные воды, большая глубина разработки и др.).

Деформации уступов на карьерах при разработке алмазных месторождений в Якутии вызываются главным образом криогенными процессами [1] и связаны с формированием сезонно-талого слоя в теплый период. Наиболее распространенный вид разрушения, характерный для всех вмещающих и перекрывающих пород, — образование осыпей и сработка верхних бровок уступов. Осыпи образуются вследствие уменьшения прочностных свойств мерзлых пород при нагревании и вытаивания в трещинах и порах льда, играющего роль цементирующего состава. Важную роль при формировании осыпей играют физическое выветривание на поверхности откосов за счет знакопеременного перепада температур (суточный – 10 ... + 10°C, годичный + 40 ... – 50°C), наличие влаги и ее миграция, многократность замерзания и оттаивания. Осыпание верхних бровок уступов, сложенных известняками и доломитами, в среднем составляет 5–10 см в год, в слабых породах это значение может быть больше. Основное количество осыпей приходится на верхние горизонты южной экспозиции. В 50 % случаев образование осыпей большого объема связано с разрушающим воздействием воды [2, 3].

В ИГДС СО РАН проводились испытания карбонатных горных пород на морозостойкость при циклическом замораживании [4]: в воздушно-сухом и во влагонасыщенном состояниях и в водной среде. При выполнении заданного количества циклов замораживания – оттаивания образцы горных пород испытывались на прочность одноосным сжатием.

Результаты испытаний прочности образцов карбонатных пород, вмещающих трубку “Удачная”, в воздушно-сухом состоянии показали, что после пяти циклов замораживания – оттаивания снижение прочности образцов составило около 12 % от первоначального, а после сорока циклов — 26 %. Увеличение числа воздействий циклов до 200 привело к снижению прочности образцов в среднем на 34 %.

По результатам испытаний образцов в водонасыщенном состоянии установлено, что относительная прочность образцов, подвергшихся циклам замораживания – оттаивания, с увеличением пористости уменьшается. Прочность образцов с пористостью меньше 1 % упала после 20 циклов на 30 %, а прочность образцов с пористостью больше 2.5 % понизилась на 50 % и более [4].

Морозостойкость пород при замораживании образцов в водной среде оценивалась по потере массы и прочности. Если образцы при испытаниях теряли больше 2/3 начальной массы, то они считались полностью разрушенными.

На рис. 1 представлено изменение прочности образцов в зависимости от числа циклов замораживания – оттаивания.

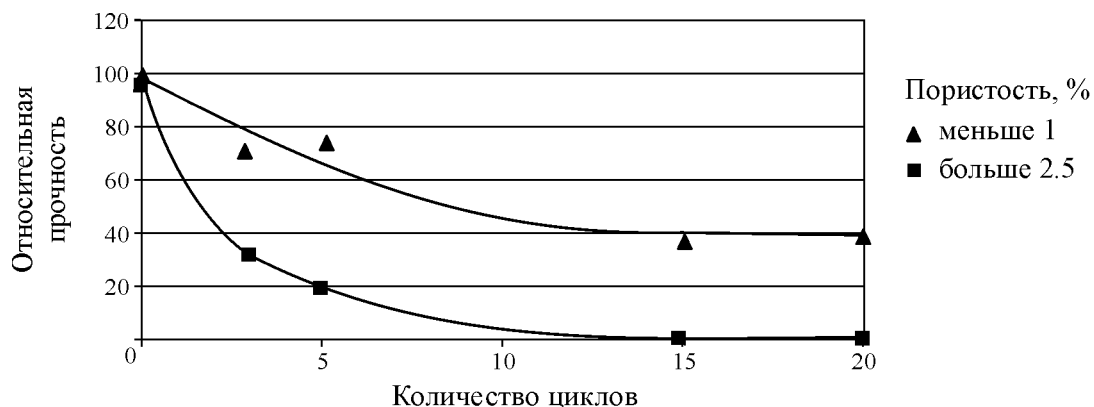


Рис. 1. Зависимость относительной прочности образцов пород от циклов замораживания – оттаивания при различной начальной пористости (образцы подвергались воздействию в водной среде)

Из рис. 1 видно, что все образцы с начальной пористостью больше 2.5 % после 15 циклов замораживания – оттаивания дезинтегрировались. Дезинтеграции образцов с пористостью меньше 1 % после 15 циклов не произошло, остаточная прочность образцов составила 42 % [4].

Результаты проведенных экспериментов показывают, что морозостойкость карбонатных вмещающих пород коренных алмазных месторождений Якутии низкая. Подтверждается вывод о том, что менее морозостойкие породы имеют меньшую начальную прочность и большую пористость.

Таким образом, ввиду значительной зависимости прочностных и механических свойств многолетнемерзлых горных пород от температуры и количества циклов промерзания – оттаивания для оценки устойчивости уступов карьеров, разрабатываемых в вечномерзлых породах, необходимо знать распределение температур в уступах в любой момент времени.

Определяющую роль в динамике температуры многолетнемерзлых горных пород играет теплообмен массива с атмосферой. Здесь одним из основных факторов является солнечная радиация. Для оценки вклада солнечной радиации в процесс теплообмена массива с атмосферой, необходимо рассмотреть радиационный баланс его поверхности, в общем случае являющейся

наклонной к горизонту. Достаточно глубоко вопросы теплообмена почвы с атмосферой в северных широтах изучены в работах [3, 5, 6]. Эти исследования показали, что на величину среднегодовой температуры дневной поверхности влияет весь комплекс условий теплообмена как с атмосферой, так и в самих горных породах. Уравнение, связывающее поток тепла в породный массив с составляющими радиационно-теплого воздействия, имеет вид

$$\lambda(T) \frac{\partial T}{\partial n} = \alpha(T_{\text{в}} - T) + Q_c(1 - A) - J_{\text{эф}} - L_f E,$$

где  $\lambda$  — коэффициент теплопроводности породного массива;  $T$  — функция распределения температур в породном массиве;  $\alpha$  — коэффициент конвективного теплообмена на границе поверхность — атмосфера;  $T_{\text{в}}$  — температуры воздуха;  $A$  — отражательная способность (альбедо) поверхности;  $Q_c$  — поток суммарной солнечной радиации;  $J_{\text{эф}}$  — эффективное излучение, представляющее собой разность между излучением поверхности и противоизлучением атмосферы;  $L_f E$  — затраты тепла на испарение (конденсацию),  $L_f$  — теплота испарения влаги,  $E$  — величина испарения (конденсации).

Анализ составляющих радиационно-теплого баланса, проведенный в работе [6] на основе экспериментальных данных, показал, что для инженерных расчетов влиянием  $J_{\text{эф}}$  и  $L_f E$  можно пренебречь, особенно при отсутствии снежного покрова. Исходя из этого уравнение теплообмена на наклонной поверхности массива можно принять в следующем виде:

$$\lambda(T) \frac{\partial T}{\partial n} = \alpha(T_{\text{в}}(t) - T) + Q_c(t)(1 - A(t)), \quad (1)$$

где

$$Q_c(t) = ((\cos(\beta) + K_{\perp}(t) \sin(\beta) - \cos^2(\beta/2))\mu(t) + \cos^2(\beta/2) + A(t) \sin^2(\beta/2))\bar{Q}_c(t),$$

$\beta$  — угол наклона поверхности;  $K_{\perp}(t)$  — коэффициент для пересчета средних суточных сумм прямой радиации с горизонтальной поверхности на вертикальные [7];  $\mu(t)$  — доля прямой радиации в суммарной для горизонтальной поверхности [8];  $\bar{Q}_c(t)$  — поток суммарной солнечной радиации на горизонтальную поверхность;  $t$  — время.

Изменение солнечной радиации в течение суток в формуле (1) можно учесть с помощью кусочно-постоянной функции и считать, что вне светового дня солнечной радиации нет. В работе [9] данное изменение не рассматривалось.

Примем допущение, что борт карьера состоит из одинаковых уступов, т. е. угол откоса  $\beta$ , высота уступа  $H$  и ширина бермы  $a$  для всех уступов одинаковы. Тогда, рассматривая расчетную область  $ABCDE$ , приведенную на рис. 2а, борт карьера можно представить как совокупность таких областей с одинаковыми с точки зрения теплофизики граничными условиями.

При этих допущениях имеем достаточно простую расчетную область  $\Omega$ , представленную на рис. 2б:

$$\Omega = \left\{ (x, y) \left| \begin{array}{l} -\text{ctg}(\varphi_1)h < x < 0, \quad -y_{\infty} < y < h + \text{tg}(\varphi_1)x, \\ 0 < x < \text{ctg}(\varphi_2)h, \quad -y_{\infty} < y < h - \text{tg}(\varphi_2)x. \end{array} \right. \right\}$$

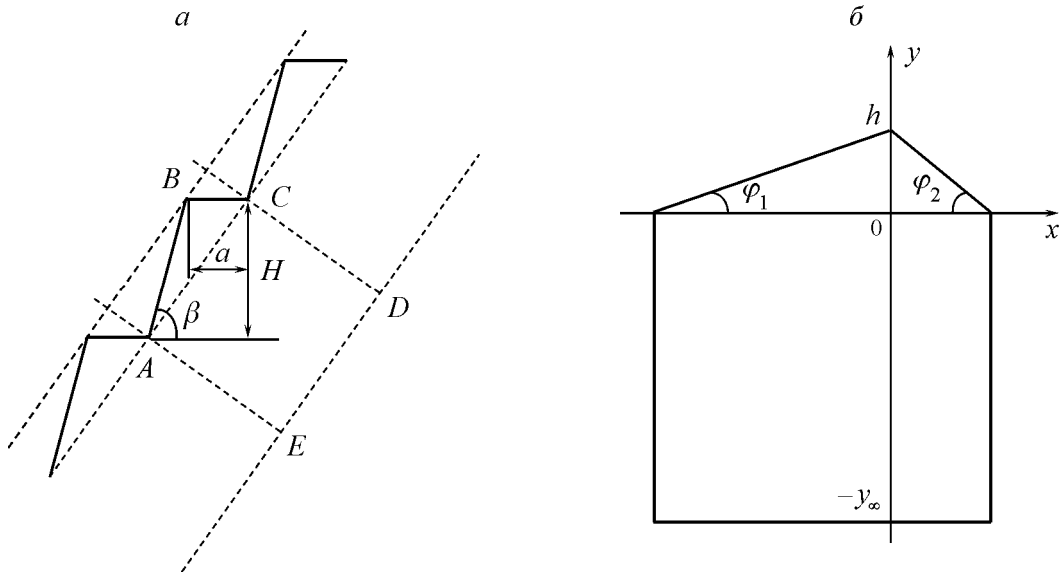


Рис. 2. Схема борта карьера (а) и расчетная область для задачи типа Стефана (б)

Из геометрических соображений получаем

$$h = \frac{Ha}{D}, \quad D = \sqrt{H^2 + (a + H \operatorname{ctg}(\beta))^2}, \quad \sin(\varphi_1) = \frac{a \sin(\beta)}{D}, \quad \sin(\varphi_2) = \frac{H}{D}.$$

В данной области имеем двумерную задачу типа Стефана:  
основное уравнение

$$(c\rho(T) + L\delta(T - T_f)) \frac{\partial T}{\partial t} = \frac{\partial}{\partial x} \left( \lambda(T) \frac{\partial T}{\partial x} \right) + \frac{\partial}{\partial y} \left( \lambda(T) \frac{\partial T}{\partial y} \right), \quad (x, y) \in \Omega, \quad t > 0; \quad (2)$$

условия на границах расчетной области

$$\lambda(T) \frac{\partial T}{\partial n} = \alpha_T (T_B(t) - T) + Q_c(t)(1 - A(t)), \quad -\operatorname{ctg}(\varphi_1)h < x < 0, \quad y = h + \operatorname{tg}(\varphi_1)x,$$

$$\lambda(T) \frac{\partial T}{\partial n} = \alpha_T (T_B(t) - T) + \bar{Q}_c(t)(1 - A(t)), \quad 0 < x < \operatorname{ctg}(\varphi_2)h, \quad y = h - \operatorname{tg}(\varphi_2)x,$$

$$-\lambda(T) \frac{\partial T}{\partial x} = q, \quad x = -\operatorname{ctg}(\varphi_1)h, \quad -y_\infty < y < 0,$$

$$T = T_u, \quad x = -\operatorname{ctg}(\varphi_1)h, \quad -y_\infty < y < 0,$$

$$\lambda(T) \frac{\partial T}{\partial x} = q, \quad x = \operatorname{ctg}(\varphi_2)h, \quad -y_\infty < y < 0,$$

$$T = T_u, \quad x = \operatorname{ctg}(\varphi_2)h, \quad -y_\infty < y < 0,$$

$$T = T_{\text{mas}}, \quad -\operatorname{ctg}(\varphi_1)h < x < \operatorname{ctg}(\varphi_2)h, \quad y = -y_\infty;$$

начальное условие

$$T(x, y, 0) = T_{\text{mas}}(x, y), \quad (x, y) \in \Omega.$$

Здесь  $c\rho(T)$ ,  $\lambda(T)$ ,  $L$ ,  $T_{\text{mas}}(x, y)$  — удельная объемная теплоемкость, теплопроводность, объемная теплота фазового перехода и начальная температура горных пород соответственно;  $\alpha_{\tau}$ ,  $T_{\text{в}}(t)$  — коэффициент теплообмена с массивом горных пород и температура атмосферного воздуха;  $Q_c(t)$ ,  $\bar{Q}_c(t)$  — поток солнечной радиации в массив горных пород на наклонной и горизонтальной площадках соответственно;  $y_{\infty}$  — расстояние, на котором влиянием дневной поверхности можно пренебречь;  $\delta(T - T_f)$  —  $\delta$ -функция Дирака;  $T_f$  — температура фазового перехода горных пород.

Для определенности принималось, что  $\lambda(T)$ ,  $c\rho(T)$  — кусочно-постоянные функции, терпящие разрыв первого рода при  $T = T_f$ .

Поставленная задача является двумерной, и для ее решения воспользуемся методом расщепления. Тогда исходная задача расщепляется на систему более простых задач, алгоритмически проще реализуемых. К настоящему времени разработано немало способов расщепления многомерных задач: метод дробных шагов, метод целых шагов, метод факторизации, метод суммарной аппроксимации и пр. [10–13]. Один из самых удобных, с нашей точки зрения, для задач типа Стефана — метод суммарной аппроксимации А. А. Самарского [12, 13], когда исходная задача сводится к системе локально-одномерных. Особенность этого метода в том, что хотя каждая отдельная из задач не аппроксимирует исходную, но все сообща они ее аппроксимируют.

Разобьем необходимый для реализации временной интервал сеткой  $\Omega_t: \{t_k = t_{k-1} + \tau_k, \tau_k > 0, k > 0, t_0 = 0\}$ . Тогда на каждом временном интервале  $[t_{k-1}, t_k]$  задача (2) может быть сведена к последовательному решению следующих двух локально-одномерных задач:

$$\begin{aligned}
 (c\rho(T^x) + L\delta(T^x - T_f)) \frac{\partial T^x}{\partial t} &= \frac{\partial}{\partial x} \left( \lambda(T^x) \frac{\partial T^x}{\partial x} \right), \quad (x, y) \in \Omega, \quad t_{k-1} < t < t_k, \quad (3) \\
 -\lambda(T^x) \sin(\varphi_1) \frac{\partial T^x}{\partial x} &= \alpha_{\tau} (T_{\text{в}}(t) - T^x) + Q_c(t)(1 - A(t)), \quad -\text{ctg}(\varphi_1)h < x < 0, \quad y = h + \text{tg}(\varphi_1)x, \\
 \lambda(T^x) \sin(\varphi_2) \frac{\partial T^x}{\partial x} &= \alpha_{\tau} (T_{\text{в}}(t) - T^x) + \bar{Q}_c(t)(1 - A(t)), \quad 0 < x < \text{ctg}(\varphi_2)h, \quad y = h - \text{tg}(\varphi_2)x, \\
 -\lambda(T^x) \frac{\partial T^x}{\partial x} &= q, \quad x = -\text{ctg}(\varphi_1)h, \quad -y_{\infty} < y < 0, \\
 T^x &= T_u, \quad x = -\text{ctg}(\varphi_1)h, \quad -y_{\infty} < y < 0, \\
 \lambda(T^x) \frac{\partial T^x}{\partial x} &= q, \quad x = \text{ctg}(\varphi_2)h, \quad -y_{\infty} < y < 0, \\
 T^x &= T_u, \quad x = \text{ctg}(\varphi_2)h, \quad -y_{\infty} < y < 0, \\
 T^x(x, y, t_{k-1}) &= T(x, y, t_{k-1}), \quad (x, y) \in \Omega;
 \end{aligned}$$

$$(c\rho(T^y) + L\delta(T^y - T_f)) \frac{\partial T^y}{\partial t} = \frac{\partial}{\partial y} \left( \lambda(T^y) \frac{\partial T^y}{\partial y} \right), \quad (x, y) \in \Omega, \quad t_{k-1} < t < t_k, \quad (4)$$

$$\lambda(T^y) \cos(\varphi_1) \frac{\partial T^y}{\partial y} = \alpha_T (T_B(t) - T^y) + Q_c(t)(1 - A(t)), \quad -\text{ctg}(\varphi_1)h < x < 0, \quad y = h + \text{tg}(\varphi_1)x,$$

$$\lambda(T^y) \cos(\varphi_2) \frac{\partial T^y}{\partial y} = \alpha_T (T_B(t) - T^y) + \bar{Q}_c(t)(1 - A(t)), \quad 0 < x < \text{ctg}(\varphi_2)h, \quad y = h - \text{tg}(\varphi_2)x,$$

$$T^y = T_{\text{mas}}, \quad -\text{ctg}(\varphi_1)h < x < \text{ctg}(\varphi_2)h, \quad y = -y_\infty,$$

$$T^y(x, y, t_{k-1}) = T^x(x, y, t_k), \quad (x, y) \in \Omega.$$

Верхние индексы “ $x$ ”, “ $y$ ” у температур обозначают, что указанное распределение температур соответствует только данной одномерной задаче. Согласно [13], решение задачи (4) —  $T^y(x, y, t)$  есть приближенное решение задачи (2) —  $T(x, y, t)$  с первым порядком аппроксимации по времени.

Алгоритм совместного решения этих задач на каждом временном шаге имеет следующий вид [12]:

1. Решается задача (3) для всех  $y$  из сетки  $W_y$  при начальных данных, полученных с предыдущего временного слоя для задачи (4).
2. Решается задача (4) для всех  $x$  из сетки  $W_x$  при начальных данных, полученных из п. 1.
3. Полученное решение есть приближенное решение задачи (2) и, если необходимо продолжать счет, то переходим к п. 1.

Здесь для  $y$

$$W_y : \{y_i \mid y_i = y_{i-1} + h_i^y, \quad h_i^y > 0, \quad i = \overline{1, N_y}; \quad y_0 = -y_\infty, \quad y_{N_y} = h\},$$

а для  $x$

$$W_x : \{x_i \mid x_i = x_{i-1} + h_i^x, \quad h_i^x > 0, \quad i = \overline{-N_x, N_x}; \quad x_{-N_x} = -\text{ctg}(\varphi_1)h, \quad x_{N_x} = \text{ctg}(\varphi_2)h\}.$$

Таким образом, для получения решения задачи (2) на каждом временном шаге необходимо решить задачи (3) и (4) для всех значений  $y, x$  из сеток  $W_y, W_x$  соответственно. Были построены неявные разностные схемы сквозного счета с помощью интегро-интерполяционного баланса [10, 12, 13]. Полученные разностные уравнения решались методами линейной алгебры [10, 12–14], причем выбор расчетной области обусловил применение модификации метода прогонки — циклическую прогонку [14].

В работе [13] отмечается, что порядок решения локально-одномерных задач (сначала по  $x$ , а затем по  $y$ , или наоборот) бывает неравнозначен. Поэтому на каждом временном слое локально-одномерные задачи решались сначала в одном порядке, а потом в обратном, и в качестве основного решения бралась их полусумма. По предложенному алгоритму написана прикладная программа на алгоритмическом языке “Fortran-90”. Осуществлена отладка и тестирование на модельных задачах.

На основе разработанной математической модели проведены расчеты температурного поля уступа карьера. При расчетах принимались следующие данные:  $H = 30$  м,  $a = 10$  м,  $\beta = 60^\circ$ ,  $\lambda_- = 2.3$  Вт/(м·°С),  $\lambda_+ = 2.1$  Вт/(м·°С),  $c\rho_- = 1836$  кДж/(м<sup>3</sup>·°С),  $c\rho_+ = 2016$  кДж/(м<sup>3</sup>·°С),  $\alpha_T = 16$  Вт/(м<sup>2</sup>·°С),  $L = L_i\rho w$ , где  $\rho = 2200$  кг/м<sup>3</sup>,  $L_i = 335$  кДж/кг,  $w = 0.05$ ,  $T_0 = -3^\circ\text{C}$ ,  $T_f = 0^\circ\text{C}$ ,  $T_B$ ,  $Q_c$ ,  $A$ ,  $K_\perp$ ,  $\mu(t)$  и длина светового дня линейно интерполировались по данным [3, 7, 8]. Здесь нижний индекс “-“ и “+” соответствует значениям свойств мерзлых и оттаивших горных пород соответственно.

По результатам расчетов установлено:

- на склоне с южной экспозицией количество циклов промерзания–оттаивания может достигать: весной — 9 раз на глубине 1 см, 5 — на глубине 5 см, 3 — на глубине 10 см и одного раза на глубине 20 см; осенью — 4 раз на глубине 1 см, 3 — на глубине 5 см, одного — на глубине 10 см. Максимальная глубина оттаивания около 2.8 м;
- на склоне с северной экспозицией количество циклов промерзания–оттаивания может достигать: весной — 3 раз на глубине 1 см, 2 — на глубине 5 см и одного — на глубине 20 см; осенью — 2 — на глубине 1 см, одного — на глубине 5 см. Максимальная глубина оттаивания около 1.9 м.

На основе полученных результатов горных пород карьера “Удачный” выполнена оценка зависимости толщины слоя осыпания с поверхности откоса борта карьера от времени вследствие циклического воздействия процесса промерзания – оттаивания для пород разной морозостойкости. На рис. 3 показана зависимость толщины слоя осыпания с поверхности борта карьера от времени для склонов южной экспозиции для пород с разной морозостойкостью (считается, что после определенного количества циклов порода разрушается).

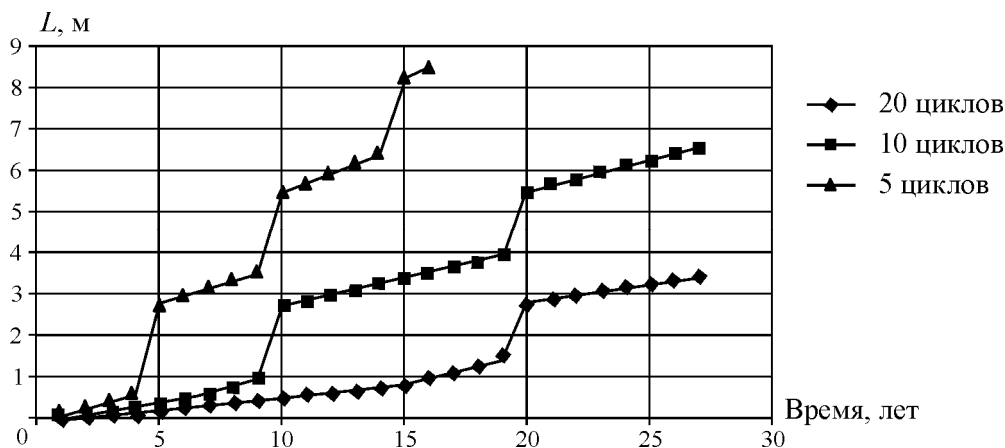


Рис. 3. Динамика толщины слоя осыпания борта карьера вследствие циклического воздействия процесса промерзания – оттаивания

## ВЫВОДЫ

1. В результате проведенных экспериментальных исследований установлено, что при знакопеременном температурном воздействии снижается прочность горных пород вплоть до полного разрушения.

2. Расчеты динамики температурного поля позволили установить количество циклов промерзания – оттаивания в массиве горных пород (уступе борта карьера) в зависимости от глубины и экспозиции склона. Полученные результаты являются основой для прогноза толщины слоя осыпания с поверхности откоса уступа борта карьера в зависимости от времени. Замечено, что в определенные моменты времени происходит резкое увеличение толщины осыпавшегося слоя (до 2 м), которое может привести к катастрофическим последствиям, что особенно важно для глубоких карьеров, где крутизна склонов достигает 60–70°, а высота уступа 40 м.

#### СПИСОК ЛИТЕРАТУРЫ

1. **Гречищев С. Е., Чистотинов Л. В., Шур Ю. Л.** Основы моделирования криогенных физико-геологических процессов. — М.: Недра, 1984.
2. **Зарецкий Ю. К., Чумичев Б. Д., Щеболев А. Г.** Вязкопластичность льда и мерзлых грунтов. — Новосибирск: Наука, 1986.
3. **Павлов А. В., Оловин Б. А.** Искусственное оттаивание мерзлых пород теплом солнечной радиации при разработке россыпей. — Новосибирск: Наука, 1974.
4. **Курилко А. С.** Экспериментальные исследования влияния циклов замораживания – оттаивания на физико-механические свойства горных пород. — Якутск: ЯФ ГУ, 2004.
5. **Павлов А. В.** Расчет и регулирование мерзлотного режима почвы. — Новосибирск: Наука, 1980.
6. **Павлов А. В.** Теплообмен почвы с атмосферой в северных и умеренных широтах территории СССР. — Якутск: Кн. изд-во, 1975.
7. **Кондратьев К. Я., Пивоварова З. И., Федорова М. И.** Радиационный режим наклонных поверхностей. — Л.: Гидрометеиздат, 1982.
8. **Климат Якутска** / под ред. Ц. А. Швер, С. А. Изюменко. — Л.: Гидрометеиздат, 1982.
9. **Слепцов В. И., Полубелова Т. Н., Изаксон В. Ю.** Математическое моделирование процесса теплообмена уступа карьера в вечномерзлых породах // ФТПРПИ. — 1996. — № 3.
10. **Марчук Г. И.** Методы вычислительной математики. — М.: Наука, 1977.
11. **Охлопков Н. М.** Методологические вопросы теории и практики разностных схем. — Иркутск: Изд-во ун-та, 1989.
12. **Самарский А. А.** Введение в теорию разностных схем. — М.: Наука, 1971.
13. **Самарский А. А.** Теория разностных схем. — М.: Наука, 1977.
14. **Ильин В. П., Кузнецов Ю. И.** Трехдиагональные матрицы и их приложения. — М.: Наука, 1985.
15. **Васильев В. И.** Численное интегрирование дифференциальных уравнений с нелокальными граничными условиями. — Якутск: ЯФ СО АН СССР, 1985.

*Поступила в редакцию 21/V 2012*